

بِسْمِ اللَّهِ الرَّحْمَنِ الرَّحِيمِ



## بسمه تعالی

دانشگاه تربیت مدرس

دانشکده علوم پایه

آیین نامه چاپ پایان نامه (رساله) های دانشجویان دانشگاه تربیت مدرس

نظر به اینکه چاپ و انتشار پایان نامه (رساله) های تحصیلی دانشجویان دانشگاه تربیت مدرس، مبین بخشی از فعالیت های علمی پژوهشی دانشگاه است. بنابراین به منظور آگاهی و رعایت حقوق دانشگاه،  
دانش آموختگان این دانشگاه نسبت به رعایت موارد ذیل متعهد می شوند :

ماده ۲- در صفحه سوم کتاب (پس از برگ شناسنامه)، عبارت ذیل را چاپ کند.

«کتاب حاضر حاصل رساله دکتری نگارنده در رشته ژنتیک است که در سال ۱۳۸۹ در دانشکده

علوم پایه دانشگاه تربیت مدرس به راهنمایی سرکار خانم دکتر زهرا سهیلا سهیلی و مشاوره جناب  
آقای دکتر مجید صادقی زاده از آن دفاع شده است.»

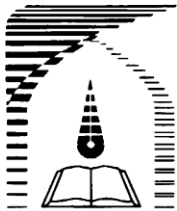
ماده ۳- به منظور جبران بخشی از هزینه های انتشارات دانشگاه، تعداد یک در صد شمارگان کتاب  
(در هر نوبت چاپ) را به «دفتر نشر آثار علمی» دانشگاه اهدا کند. دانشگاه می تواند مازاد نیاز خود را به  
نفع مرکز نشر در معرض فروش قرار دهد.

ماده ۴- در صورت عدم رعایت ماده ۳، ۵۰٪ بهای شمارگان چاپ شده را به عنوان خسارت به  
دانشگاه تربیت مدرس، تادیه کند.

ماده ۵- دانشجو تعهد و قبول می کند در صورت خودداری از پرداخت بهای خسارت، دانشگاه می  
تواند خسارت مذکور را از طریق مراجع قضایی مطالبه و وصول کند؛ به علاوه به دانشگاه حق می دهد  
به منظور استیفای حقوق خود، از طریق دادگاه، معادل وجه مذکور در ماده ۴ را از محل توقيف کتابهای  
عرضه شده نگارنده برای فروش، تامین نماید.

ماده ۶- اینجانب حسن اکرمی دانشجوی رشته ژنتیک مقطع دکتری تعهد فوق و ضمانت اجرایی آن  
را قبول کرده، به آن ملتزم می شوم.

نام و نام خانوادگی: حسن اکرمی



دانشگاه تربیت مدرس

دانشکده علوم زیستی

رساله دوره دکتری رشته: زیست شناسی گرایش: ژنتیک مولکولی

بررسی اثر کاهش بیان ژن *PIGF* در سلولهای اپیتلیال رنگدانه ای شبکیه انسانی (RPE)

جهت مهار نو- رگزایی مشیمیه

نگارش

حسن اکرمی

استاد راهنمای

دکتر زهرا- سهیلا سهیلی

استاد مشاور

دکتر مجید صادقی زاده

۱۳۸۹ خداداد

بعضی ها مثل آسمان آینند و مثل سبزه بزر  
بعضی ها مثل چشم زلاند و مثل درخت پرپار  
بعضی مثل خوشید می تابند و زنده می کنند، زنگی می بخشنند و زنگی می آموزنند  
بعضی هم در چند پرپار، چشم اند زلال، آسمانند آبی، خوشیدند گردند بخش و سبزه اند سبزه سبزه

### تعدادیم به

پدرم که قطره قطره مرکب قلمم، یادگار عرق جین او است  
مادرم که محبت هایش همواره پر پروازم بوده است  
برادرم که هرگز از یادش نمی کاهم.

همسرم که همواره یاور و پشتیبانم بوده است  
پسرم که روشنایی بخش زنگیم بوده و همیشه در قلمم جای دارد  
و تمام اساتید که اتقدر که به من آموختند چگونگی بستر زیست را

## تشکر و قدردانی

با سپاس فراوان از استاد گرامی سرکار خانم دکتر زهرا-سهمیلا سهمیلی که راهنمایی این پایان نامه را بر عهده داشته و با مساعدت و راهنمایی های بیدریغ شان در طول انجام رساله، مرا یاری نمودند. همچنین با سپاس و قدردانی از استاد گرامی جناب آقای دکتر مجید صادقی زاده که مشاوره این پایان نامه را بر عهده داشته و با مساعدت و مشاورت های همیشگی و ارزنده شان مرا یاری نمودند. با سپاس از جناب آقای دکتر حمید احمدیه که از مشاورت های ارزنده ایشان در طول انجام رساله بخوردار بودم.

با قدردانی از سرکار خانم دکتر مژگان رضایی و همکارانش در بانک چشم جمهوری اسلامی ایران که در تهیه نمونه چشم طی انجام رساله، از هیچ مساعدتی به اینجانب دریغ ننمودند. با سپاس از جناب آقای دکتر جلیل پاکروش که در تهیه پرده آمنیوتیک از جفت جنینی، مرا یاری و مساعدت نمودند.

با سپاس از جناب آقای شهرام سمیعی و همکارانش در سازمان انتقال خون که از مساعدت ایشان در طول انجام رساله بخوردار بودم. با سپاس از تمامی استادی گرانقدر که طی دوران تحصیل از هیچ مساعدتی به اینجانب دریغ ننمودند

با سپاس از دوستان و عزیزانی (خصوصا آقای حسین اسدی) که صمیمانه مرا در طول انجام این رساله یاری رساند.

## چکیده

استحاله سنی ماکولا<sup>۱</sup> (AMD) ، شایع ترین علت کاهش بینایی در افراد بالای ۶۰ سال، در کشورهای پیشرفته است. اکثر موارد، کاهش شدید بینایی ناشی از AMD ، به دلیل تغییرات ترشحی ماکولا روی می دهد. در نوع تر بیماری، نو-رگزایی مشمیه<sup>۲</sup> (CNV) و در نتیجه خونریزی زیر شبکیه، باعث از دست دادن بینایی می شود.

سلول های اپی تلیال رنگدانه ای شبکیه<sup>۳</sup> (RPE) در حفظ و نگهداری و عملکرد طبیعی شبکیه نقش مهمی دارند.

با استفاده از روشهای مهندسی بافت، پرده آمنیوتیک، به عنوان بستری برای کشت سلول های RPE و جایگزین کردن آنها با سلولهای RPE آسیب دیده در شبکیه چشم مطرح گردیده است. ما روشی را برای کشت سلول های RPE روی پرده آمنیوتیک استفاده کردیم. الگوی بیان ژن در سطح رونویسی مارکرهای اختصاصی سلولهای RPE، شامل ژن های *CRALBP* ، *RPE65* ، *CD68* ، *VEGF* ، *Tyrosinase* Real-time PCR که در عملکرد طبیعی سلولهای RPE نقش دارند، با استفاده از روش *RPE65* کمی مورد بررسی قرار گرفت. نتایج بررسی بیان کمی نشان داد که رونویسی ژنهای *CD68* و *VEGF* در سلولهای RPE کشت شده بر سطح پرده آمنیوتیک نسبت به سلولهای RPE کشت شده بر سطح ظروف کشت پلاستیکی افزایش داشته اند. از طرفی کشت سلولهای RPE بر سطح پرده آمنیوتیک تأثیری بر بیان ژن های *CRALBP* و *Tyrosinase* ندارد. این نتایج نشان می دهد که پرده آمنیوتیک مانع از تمایز زدایی سلول های RPE می شوند.

تعدادی فاکتور مهم در مسیر آبشاری رگزایی وجود دارند. با وجود این، نقش اصلی *VEGF* ، در شروع نو-رگزایی<sup>۴</sup> و بیماری های ترشحی چشم مشخص شده است. مهار طویل مدت *VEGF* عوارض منفی از قبیل افزایش فشار خون و ترمبوزیس را در بیماران ایجاد می کند. میانکنش *VEGF* با *PIGF* به واسطه *PIGF* القا می شود، به همین جهت *PIGF* به عنوان ژن کاندید برای مهار نو-رگزایی در مشمیه مورد بررسی قرار گرفت.

در این تحقیق نشان داده شد که مهار *PIGF* در سلولهای RPE اثری بر تکثیر سلولی و مرگ برنامه ریزی شده سلولی ندارد. همچنین اختلاف محسوسی در بیان ژنهای *RPE65*، *CRALBP* and *tyrosinase* در سلولهای RPE تیمار شده با siRNA علیه ژن *PIGF* در مقایسه با سلولهای RPE تیمار شده با scrambled-siRNA و سلولهای RPE بدون تیمار، مشاهده نشد.

<sup>1</sup> Age related macular degeneration

<sup>2</sup> Choroidal neovascularization

<sup>3</sup> Retinal pigment epithelium

<sup>4</sup> Neovascularization

مهار بیان ژن *PIGF* در سلول های RPE موجب کاهش چشم گیری در رگزایی در *in vitro* بوسیله سلول های HUVECs شد. همچنین مطالعه بیان کمی رونویسی ۸۴ ژن کلیدی درگیر در رگزایی حاکی از تغییر بیان ۲۰ ژن پس از فرونشانی بیان ژن *PIGF* در سلولهای RPE دارد که در بین آنها ۱۲ ژن افزایش و ۸ ژن (علاوه بر ژن *PIGF*) کاهش بیان را نشان می دادند.

### كلمات کلیدی:

اپی تلیال رنگدانه ای شبکیه (*PIGF*), (RPE)، تخریب وابسته به سن ماکولا (AMD)، siRNA، پرده آمنیوتیک، نو-رگزایی مشمیه (CNV).

## فهرست مطالب

۱	.....	فصل اول
۱	.....	مقدمه
۲	.....	۱- استحاله وابسته به سن ماکولا
۴	.....	۲- سلول های اپی تیلیال رنگدانه ای شبکیه
۱۲	.....	۳- عملکرد پروتئین RPE65 در چرخه بینایی
۱۵	.....	۴- نقش پروتئین متصل شونده به رتینالدھید سلولی در چرخه بینایی
۱۵	.....	۵- رگزایی
۱۷	.....	۵-۱. عوامل دخیل در رگزایی
۲۲	.....	۶- فاکتور رشد جفتی
۲۴	.....	۷- روشهای درمان بیماری استحاله وابسته به سن ماکولا
۲۴	.....	۷-۱. انعقاد توسط نور لیزر
۲۵	.....	۷-۲. درمان فتودینامیک
۲۵	.....	۷-۳. پرتو درمانی
۲۵	.....	۷-۴. جراحی
۲۶	.....	۷-۵. پیوند شبکیه
۲۷	.....	۷-۶. پیوند سلول های RPE
۲۸	.....	۷-۷-۱. مهندسی بافت RPE
۲۹	.....	۷-۷-۲. درمان دارویی
۳۰	.....	۸-۱. اهداف
۳۱	.....	فصل دوم
۳۱	.....	مواد و روش ها
۳۲	.....	۱- تهیه محلول ها و بافرهای مورد نیاز
۳۲	.....	۱-۱. آنتی بیوتیک
۳۲	.....	۱-۲. سرم جنین گوساله
۳۲	.....	۳-۱-۲. محلول Trypsin/EDTA
۳۲	.....	۴-۱-۲. آنزیم دیسپاز

۱-۱-۵. بافر سالین نرمال	۳۳
۱-۱-۶. بافر TBE	۳۳
۱-۱-۷. رنگ تریپیان بلو	۳۳
۱-۱-۸. رنگ متیل گربن	۳۳
۱-۱-۹. محیط Mounting Medium	۳۳
۱-۱-۱۰. بافرها و محلولهای مورد استفاده در SDS-PAGE	۳۴
۱-۱-۱۱. تهیه محیط کشت DMEM-F12 (۱:۱)	۳۵
۲-۱-۱. روش ها	۳۵
۲-۱-۲-۱. تهیه کره های چشم انسانی	۳۵
۲-۱-۲-۲. مرحله جداسازی سلولهای RPE از کره چشم	۳۵
۲-۱-۲-۳. کشت سلول های RPE	۳۶
۲-۱-۲-۴. شمارش سلولی و محاسبه درصد بقا	۳۷
۲-۱-۲-۵. کشت و تکثیر سلولهای آندوتیال سیاه رگ بند ناف	۳۸
۲-۱-۲-۶. کشت سلول های RPE روی پرده آمنیوتیک	۳۹
۲-۱-۲-۷. استخراج RNA کل	۳۹
۲-۱-۲-۸. تعیین غلظت RNA	۴۰
۲-۱-۲-۹. تهیه ژل آگارز و الکتروفورز آن	۴۱
۲-۱-۱۰. واکنش رونویسی معکوس	۴۱
۲-۱-۱۱. واکنش رونویسی معکوس برای سیستم PCR Array	۴۴
۲-۱-۱۲. واکنش زنجیره ای پلی مریزاسیون (PCR)	۴۶
۲-۱-۱۳. طراحی پرایمر	۴۶
۲-۱-۱۴. روش انجام Real time RT-PCR	۵۰
۲-۱-۱۵. روش انجام سیستم Real time PCR Array	۵۳
۲-۱-۱۶. تداخل در بیان ژن از طریق استراتژی RNAi	۵۵
۲-۱-۱۷. آماده سازی نمونه برای فلوسایتومتری	۵۷
۲-۱-۱۸. ایمونوستیتوشیمی	۵۷
۲-۱-۱۹. لکه گذاری و سترن	۵۸
۲-۱-۲۰. آزمون الایزا برای تکثیر سلولی	۶۲
۲-۱-۲۱. آزمون الایزا برای مشاهده مرگ سلولی	۶۳
۲-۱-۲۲. روش انجام آزمون الایزا برای پروتئین VEGF	۶۴
۲-۱-۲۳. رگزایی	۶۵

۶۶.....	فصل سوم
۶۶.....	نتایج
۶۷.....	۱-۳. کشت سلول های RPE
۶۷.....	۱-۳-۱. مرحله نمونه گیری
۶۷.....	۱-۳-۲. مرحله جداسازی سلولهای RPE
۷۱.....	۲-۳. شناسایی سلولهای RPE
۷۱.....	۲-۳-۱. ایمونوستیتوشیمی
۷۵.....	۲-۳-۲. بیان ژن
۷۷.....	۳-۳. کشت سلول های RPE روی پرده آمنیوتیک
۷۹.....	۳-۴. بررسی کمی رونویسی ژنهای عملکردی و تمایزی روی پرده آمنیوتیک
۸۲.....	۳-۵. فرونشانی بیان ژن PIGF با استفاده از فن آوری RNAi
۹۰.....	۳-۵-۱. بررسی کمی رونویسی ژنهای عملکردی و تمایزی پس از فرونشانی بیان ژن PIGF
۹۲.....	۳-۵-۲. بررسی کمی مرگ برنامه ریزی شده در سلولهای RPE پس از فرونشانی بیان ژن PIGF
۹۲.....	۳-۵-۳. بررسی کمی تکثیر سلولی در سلولهای RPE پس از فرونشانی بیان ژن PIGF
۹۶.....	۳-۵-۴. کاهش ترشح پروتئین VEGF در سلولهای RPE پس از فرونشانی بیان ژن PIGF
۹۸.....	۳-۶. مطالعه رگزایی
۱۰۰.....	۳-۷. پروفایل بیانی ژنهای مسیر رگزایی، پس از فرونشانی بیان ژن PIGF
۱۰۷.....	فصل چهارم
۱۰۷.....	بحث و نتیجه گیری
۱۰۸.....	۴-۱. مقدمه
۱۰۸.....	۴-۲. سلول های RPE
۱۰۸.....	۴-۲-۱. کشت سلول های RPE
۱۱۰.....	۴-۲-۲. شناسایی سلول های RPE
۱۱۱.....	۴-۲-۳. کشت سلول های RPE بر روی پرده آمنیوتیک
۱۱۳.....	۴-۳. رگزایی
۱۱۳.....	۴-۳-۱. درمان رگزایی پاتولوژی با مهار VEGF
۱۱۴.....	۴-۳-۲. نقش PIGF در مهار رگزایی پاتولوژی
۱۱۴.....	۴-۳-۳. مهار PIGF و رگزایی
۱۱۸.....	۴-۴. تاثیر فرونشانی PIGF بر روی بیان ژنهای مسیر رگزایی
۱۱۹.....	۴-۵. پیشنهادات

## فهرست جداول

جدول ۱-۲: جدول master mix cDNA جهت سنتز	۴۶
جدول ۲-۱: مخلوط حذف DNA ژنومی در واکنش رونویسی معکوس برای PCR Array System	۴۸
جدول ۲-۲: تهییه مخلوط کیت RT در واکنش رونویسی معکوس برای PCR Array System	۴۸
جدول ۲-۳: مواد مورد نظر برای انجام PCR	۵۰
جدول ۲-۴: مراحل واکنش PCR . (* دمای اتصال با توجه به نوع پرایمرها متغیر است.)	۵۰
جدول ۲-۵: توالی و مشخصات پرایمرهای طراحی شده و طول قطعات تکثیری	۵۱
جدول ۲-۶: جدول master mix برای واکنش real-time PCR	۵۴
جدول ۲-۷: سیکل های واکنش real time RT-PCR	۵۴
جدول ۲-۸: تهییه مخلوط واکنش Real time RT- PCR	۵۶
جدول ۲-۹: مراحل آزمایش Array System Real time RT- PCR	۵۶
جدول ۲-۱۰: ترکیب و نحوه تهییه ژل بالا و پایین در SDS-PAGE	۶۲
جدول ۲-۱۱: میزان Ct کنترل PCR (PPC)	۱۰۴
جدول ۲-۱۲: میزان CtGDC که بیشتر از ۳۵ (N/A) است. در نتیجه آلودگی به DNA ژنومی وجود نداشت.	۱۰۴
جدول ۲-۱۳: میزان اختلاف Ct کنترل واکنش رونویسی معکوس (RTC) و کنترل واکنش PCR	۱۰۴
جدول ۲-۱۴: ژن هایی که پس از فرونشانی ژن PIGF تغییر بیان داشته اند	۱۰۷

## فهرست شکل‌ها

شکل ۱-۱: نمای برش میانی چشم انسانی به همراه بزرگنمایی شبکیه.....	۵
شکل ۱-۲: نمای لایه‌های مختلف شبکیه چشم انسان.....	۷
شکل ۱-۳: سلولهای تک لایه RPE با ظاهر شش وجهی و سنگفرشی (۶۰).....	۸
شکل ۱-۴: چرخه بینایی در مهره داران.....	۱۵
شکل ۱-۵: شمای خانواده VEGF که گروهی از فاکتورهای رشد می باشند ،.....	۲۰
شکل ۱-۶: مسیر های سیگنال دهنی که توسط VEGF فعال می شوند (۴۰).....	۲۲
شکل ۱-۷: نمای سلول های RPE (A) بلا فاصله پس از جداسازی از کره چشم.....	۲۲
شکل ۱-۸: نمای سلول های RPE (A) پس از گذشت یک هفتة.....	۷۲
شکل ۱-۹: نمایی از اشکال مختلف سلول های RPE.....	۷۳
شکل ۱-۱۰: سلول های RPE که با آنتی بادی RPE65 و با روش ایمونوستیوژنی شناسایی شده اند.....	۷۶
شکل ۱-۱۱: سلول های که با آنتی بادی سایتوکراتینو با روش ایمونوستیوژنی شناسایی شده اند.....	۷۷
شکل ۱-۱۲: الکتروفورز محصول PCR.....	۷۹
شکل ۱-۱۳: نمایی از پرده آمنیوتیک و سلولهای RPE که روی آن کشت شده اند.....	۸۱
شکل ۱-۱۴: منحنی های تکثیر کمی استاندارد GAPDH.....	۸۳
شکل ۱-۱۵: نمودار کمی بیان ژنهای VEGF, CD68, CRALBP, RPE65 و تیروزیناز.....	۸۴
شکل ۱-۱۶: ساختارهای ثانویه توالی mRNA.....	۸۶
شکل ۱-۱۷: میزان ترانسفکشن الیگونوکلئوتیدهای siRNA به سلولهای RPE.....	۸۷
شکل ۱-۱۸: منحنی های تکثیر کمی PIGF. بالا: (A) منحنی تکثیر، (B) منحنی استاندارد.....	۸۹
شکل ۱-۱۹: نمودار کاهش بیان ژن PIGF.....	۹۰
شکل ۱-۲۰: فرونشانی بیان پروتئین خانواده ژنی siRNA بوسیله PIGF.....	۹۲
شکل ۱-۲۱: نمودار کمی بیان ژنهای RPE65 و... در سلولهای تیمار شده با PIGF-siRNA.....	۹۴
شکل ۱-۲۲: نمودار کمی مرگ برنامه ریزی شده سلولی.....	۹۶
شکل ۱-۲۳: نمودار تکثیر سلولی در سلولهای تیمار شده با PIGF-siRNA.....	۹۷
شکل ۱-۲۴: نمودار کمی مرگ برنامه ریزی شده سلولی در سلولهای تیمار شده با PIGF-siRNA.....	۹۸
شکل ۱-۲۵: نمودار میزان ترشح پروتئین VEGF.....	۱۰۰
شکل ۱-۲۶: نمودار کاهش رگزایی در سلولهای HUVECs.....	۱۰۲
شکل ۱-۲۷: توزیع سیکل آستانه (Ct) واکنش های Real-Time RT-PCR.....	۱۰۶
شکل ۱-۲۸: میزان تغییر بیان ژنها در سلولهای RPE تیمار شده با siRNA.....	۱۰۸
شکل ۱-۲۹: میزان تغییر بیان ژنها در سلولهای RPE تیمار شده با AKT1.....	۱۰۹

١

## فصل اول

مقدمه

## ۱.۴. استحاله وابسته به سن ماکولا

استحاله وابسته به سن ماکولا<sup>۱</sup> (AMD)، شایع ترین علت اختلال بینایی در اشخاص بالاتر از ۵۵ سال است و گمان می‌رود که ۳۰ درصد افراد بالای ۶۵ سال را نیز درگیر می‌کند. این بیماری هر ساله باعث نابینا شدن ۱۶۰۰۰ نفر می‌شود (۱).

معمول ترین نوع بیماری AMD نوع خشک<sup>۲</sup> و تحلیل برنده می‌باشد که با از دست رفتن تدریجی دید مرکزی در یک چشم آغاز شده و در نهایت هر دو چشم را درگیر می‌کند. در بیماری AMD نوع تر<sup>۳</sup> کاهش بینایی ناشی از AMD، به دلیل تغییرات ترشحی<sup>۴</sup> ماکولا روی می‌دهد. افزایش نفوذپذیری عروق و رگزایی ناشی از بیماری AMD نوع تر، بواسطه فاکتور رشد اندوتیالی عروقی<sup>۵</sup> (VEGF) ایجاد می‌شود. نوع تر یا ترشحی بیماری AMD، تمامی علائم نوع خشک را دارا بوده مضاف بر اینکه خونریزی در نواحی داخل و اطراف ماکولا نیز دیده می‌شود. خونریهایی که صورت می‌گیرد جذب نشده و تهاجم بافت فیبری-عروقی از مشیمیه و عروق خونی شبکیه می‌تواند سریعاً منجر به از دست رفتن دید مرکزی شود (۲).

شیوع بیماری AMD با افزایش سن، بیشتر می‌شود. گمان می‌رود که فاکتورهای وراثتی و محیطی بر روی علت این بیماری اثر داشته باشند. مطالعات غیرمستقیم، شامل مطالعه بر روی دو قلوها و مطالعه بر روی خانواده‌هایی که وفور این بیماری در آن‌ها بیشتر می‌باشد، نشان داده است که عوامل وراثتی از اهمیت خاصی در ابتلا به این بیماری برخوردار می‌باشند. این فرضیه با کشف ژنهایی بر روی کروموزوم ۱ و کروموزوم ۱۰ که نقش مهمی را در این بیماری بازی می‌کنند، تأیید گردید. این بیماری مراحل مختلفی دارد، در مرحله اولیه، اجسام دروزن<sup>۶</sup> و تغییرات رنگدانه‌ای در سلولها مشاهده می‌شود و مقداری از دید از دست می‌رود. مشاهده شده است که استفاده از ویتامین E و C و روی می‌تواند پیش روی این مرحله را به تأخیر بیندازد. مرحله دوم و مرحله پایانی این بیماری، نوع تر است که به دلیل

<sup>1</sup> Age related macular degeneration

<sup>2</sup> Dry-AMD

<sup>3</sup> Wet-AMD

<sup>4</sup> Exudative

<sup>5</sup> Vascular Endothelial Growth Factor

<sup>6</sup> Drusen bodies

تشکیل عروق خونی جدید یا نو-رگزایی مشمیه<sup>۱</sup> (CNV)، منجر به از دست رفتن کامل بنیایی می‌شود. شبکه‌ای از عروق خونی، شبکیه را تغذیه می‌کنند. یکی از این شبکه‌ها بر روی سطح شبکیه واقع شده است و دیگری در عمق شبکیه (بر روی سطح خارجی غشاء براش) قرار دارد. عروق خونی غیر طبیعی در بیماری AMD از شبکه عمقی‌تر عروق خونی که گردش خون مشمیه<sup>۲</sup> خوانده می‌شود، ناشی می‌شود. این عروق مسیر خود را از درون غشاء براش باز کرده و در زیر اپی تلیال رنگدانه ای شبکیه<sup>۳</sup> (RPE) گسترش می‌یابند. خون و مایعات از آنها نشت کرده و باعث می‌شود تا سلولهای گیرنده‌های نوری<sup>۴</sup> تخریب شده و ماکولا از سلولهایی که در زیر آن وجود دارد جدا شود (۳).

سایر سلولها، شامل آنهایی که عروق خونی را حمایت می‌کنند و برخی سلولها که مربوط به سیستم ایمنی می‌باشند نیز در فرآیند بیماری AMD درگیر می‌باشند. همچنین تعدادی از مولکول‌ها که فعالیت‌های تمام سلولهای لازم برای رشد عروق خونی را تنظیم می‌کنند نیز در فرآیند بیماری AMD دخیل می‌باشند. به عنوان مثال، مقدار ترشح فاکتور رشد فیبروبلاستی بازی (FGF2)<sup>۵</sup> یا bFGF<sup>۶</sup>، در بیماریهای تخریب کننده شبکیه افزایش پیدا می‌کند. در نو-رگزایی‌های نیز که در بیماری AMD در لایه سلولهای RPE رخ می‌دهد، تجمع بالایی از این فاکتور رشد فیبروبلاستی دیده شده است. زیرا bFGF نقش بالقوه‌ای در توسعه نو-رگزایی مشمیه دارد. bFGF می‌تواند به طور مستقیم نو-رگزایی را القا کند زیرا باعث افزایش ترشح VEGF شده و تکثیر سلولهای اندوتلیالی نیز متعاقب آن افزایش پیدا می‌کند (۴).

مطالعات اخیر نشان داده است که التهاب موضعی و فعال شدن سیستم کمپلمان نیز در میان سایر علل مؤثر در بیماریزایی AMD از نقش به سزایی برخوردار است. همچنین رنگدانه‌های بیس-رتینوئید<sup>۷</sup>، از جمله A2E که به صورت لیپوفوشین در سلولهای RPE تجمع پیدا می‌کنند در پیشروی بیماری AMD اثر گذار می‌باشند (۵). طی بیماری AMD، سلولهای RPE تا حدی رنگدانه‌های خود را از دست داده و کوتاهتر می‌شوند. همچنین، این سلولها در قسمت‌هایی از شبکیه کاملاً از بین رفته، در حالی که در نقاط دیگر بر روی یکدیگر تجمع پیدا می‌کنند. رسوباتی نیز به نام اجسام دروزن در ما بین لایه سلولهای RPE و غشاء براش شکل می‌گیرد که منجر به تغییر شکل و تخریب آن نواحی می‌گردد (۳، ۶). از علائم اصلی تخریب ماکولا، تار و غیر واضح شدن دید مرکزی می‌باشد. اشیاء و اجسام ممکن است به صورت کج و زاویه دار و یا کوچکتر از اندازه واقعی‌شان و خطوط صاف ممکن است به صورت

<sup>1</sup> Choroidal neovascularization

<sup>2</sup> Choroidal circulation

<sup>3</sup> Retinal pigment epithelium

<sup>4</sup> Photoreceptor cells

<sup>5</sup> Fibroblastic Growth Factor

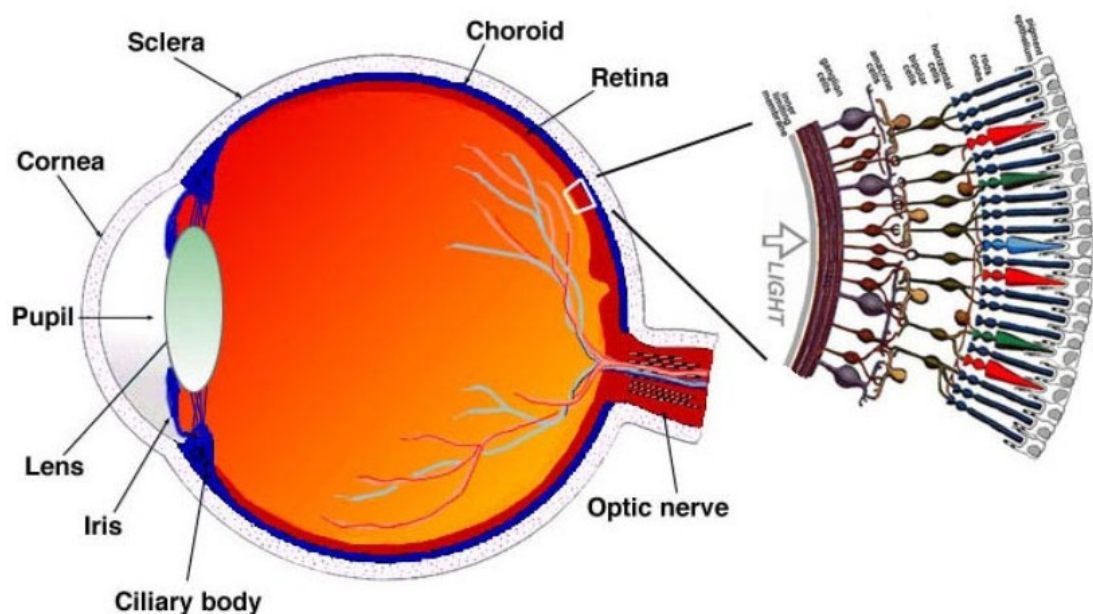
<sup>6</sup> Basic Fibroblastic Growth Factor

<sup>7</sup> Bis -retinoid

مواج یا خمیده به نظر برسند. بیماران ممکن است در مرکز میدان دید خود نقطه کور (یا سیاهی) را ببینند. درمان‌هایی که برای نوع تر بیماری وجود دارد، نمی‌تواند بینایی را به فرد برگرداند بلکه فقط پیشروی و روند آسیب بیشتر به دید مرکزی را کند می‌کند (۷).

## ۱. ۲. سلول‌های اپی تیلیال رنگدانه ای شبکیه

در ناحیه داخلی و انتهایی چشم، زیر سلولهای گیرنده های نوری، یک تک لایه از سلولهای اپی تیلیال رنگدانه ای شبکیه (RPE) قرار گرفته است (شکل ۱-۱). که گیرنده های نوری را تغذیه می‌کند و خود این سلولها توسط عروق خونی مشیمیه تغذیه می‌شوند (۶، ۸).



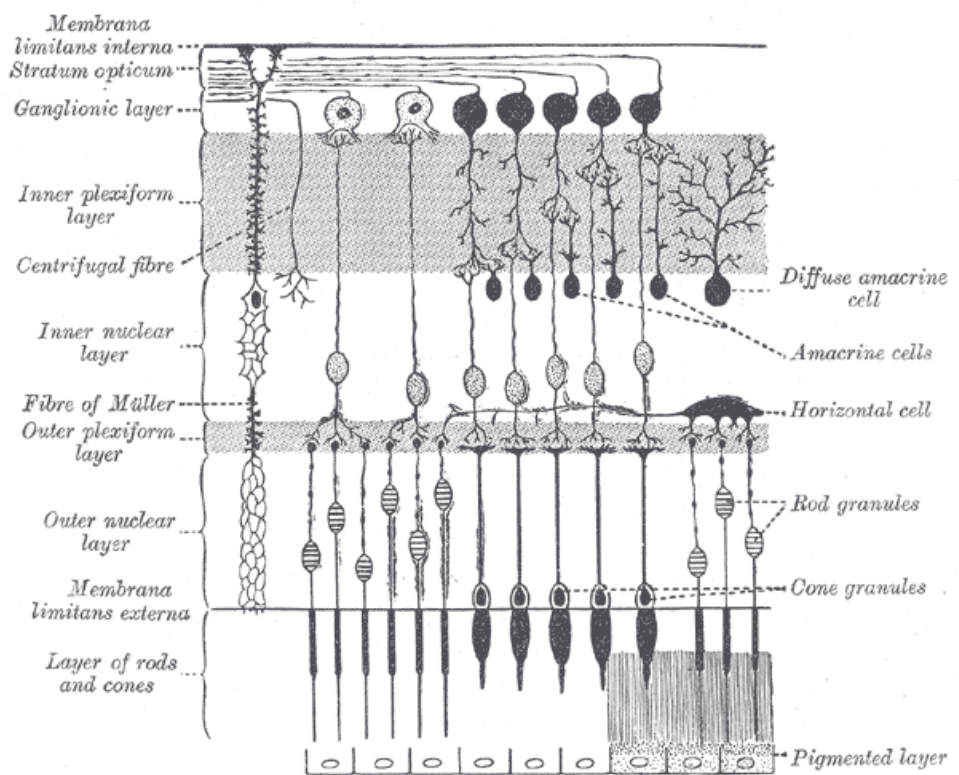
شکل ۱-۱: نمای برش میانی چشم انسانی به همراه بزرگنمایی شبکیه

سلولهای اپی تیلیال رنگدانه ای شبکیه (RPE) متشکل از یک نکه لایه سلولهای مکعبی ساده می‌باشد که ما بین مویرگهای مشیمیه و شبکیه حسی- عصبی واقع شده است (شکل ۲-۱). در یک چشم طبیعی، سلولهای RPE به صورت شش وجهی می‌باشند و در کنار یکدیگر همانند سنگفرش قرار گرفته‌اند (شکل ۳-۱). اندازه سلول RPE به سن فرد و محل قرارگیری سلول بر روی شبکیه بستگی دارد. سلولهای RPE در ماکولای افراد جوان، طولی به اندازه ۱۴ میکرومتر و قطری معادل ۱۰ تا ۱۴ میکرومتر دارند. منشاء سلولهای RPE از اکتودرم عصبی می‌باشد. سلولهای RPE به رنگ قهوه‌ای خال می‌باشند که این رنگ به دلیل حضور ملانین<sup>۱</sup> و سایر رنگدانه‌ها از جمله گرانولهای لیپوفوшин<sup>۲</sup> می‌باشند (۶). با افزایش سن، گرانولهای لیپوفوшин در سلول‌های RPE تجمع پیدا کرده که خود می‌تواند منشاء تعدادی از ناهنجاریهای چشمی باشد. سلولهای RPE از یک قطبیت ساختاری و عملکردی برخورد می‌باشند که آنها را قادر می‌سازد تا وظائف بسیار تخصص یافته‌ای را انجام دهند. غشاء سلول RPE از سطوح متفاوت فوقانی و تحتانی- جانبی برخوردار است (۸).

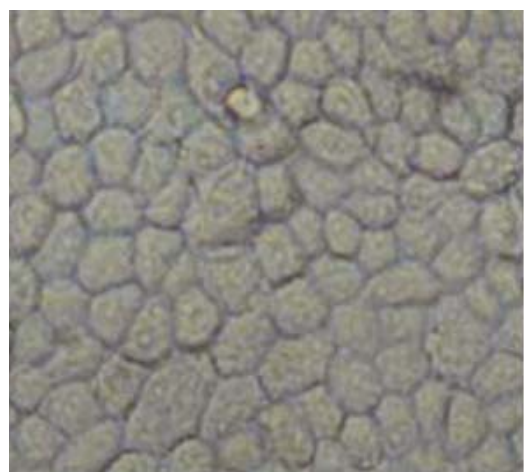
---

<sup>۱</sup> Melanin

<sup>۲</sup> Lipofuscin



شکل ۱-۲: نمای لایه‌های مختلف شبکیهٔ چشم انسان



شکل ۱-۳: سلولهای تک لایه RPE با ظاهر شش وجهی و سنگفرشی (۶۰)